

Εργασία Ψηφιακών Τηλεπικοινωνιών

Κυριακόπουλος Αριστομένης¹

Πανεπιστήμιο Πατρών
Τμήμα Μηχανικών Ηλεκτρονικών Υπολογιστών και Πληροφορικής
up1054307@upnet.gr

Περίληψη Σκοπός της εργασίας είναι η δημιουργία συναρτήσεων για την κατανόηση της κωδικοποίησης Ηυφφμαν, της κωδικοποίησης Π²Μ και την μελέτη απόδοσης ομόδηνου ζωνοπερατού συστήματος Μ-ΦΣΚ. Παρουσιάζονται παρακάτω τα αποτελέσματα της προσπάθειας μου.

1 Ερώτημα 1 - Κωδικοποίηση Huffman

Η κωδικοποίηση Huffman αποτελεί μια βέλτιστη κωδικοποίηση διακριτών πηγών και χρησιμοποιείται για την συμπίεση δεδομένων χωρίς χάσιμο πληροφορίας. Παρακάτω παρατίθεται οι δικές μου θεμελιώσεις των 3 βασικών συναρτήσεων.

1.1 Κωδικοποίηση πηγής κώδικα

Huffman Dictionary Η συνάρτηση huffmanDict λαμβάνει ως είσοδο 2 διανύσματα, το 1 με τους αγγλικούς χαρακτήρες και το άλλο με την πιθανότητα του κάθε γράμματος από το αρχείο cnxopt.txt. Αρχικά ταξινομούνται όλες οι πιθανότητες σε αύξουσα σειρά και λαμβάνονται οι δύο χαρακτήρες με την μικρότερη πιθανότητα να εμφανιστούν. Αυτοί εισέρχονται σε ένα κοινό κόμβο με το άθροισμα των πιθανοτήτων τους και εισέρχονται ξανά στα αντίστοιχα διανύσματά τους. Αυτό γίνεται μέχρι η πιθανότητες να φτάσει στο 1. Για το δοθέν κείμενο η έξοδος της συνάρτησης είναι η εξής:

```

Columns 1 through 8

{'a'  } {'b'  } {'c'  } {'d'  } {'e'  } {'f'  } {'g'  } {'h'  }
{'0110'} {'101111'} {'10001'} {'10110'} {'110'} {'100100'} {'101110'} {'10011'}

Columns 9 through 16

{'i'  } {'j'  } {'k'  } {'l'  } {'m'  } {'n'  } {'o'  } {'p'  }
{'0101'} {'111110011'} {'11111000'} {'01000'} {'100000'} {'0111'} {'00000'} {'11110'}

Columns 17 through 24

{'q'  } {'r'  } {'s'  } {'t'  } {'u'  } {'v'  } {'w'  } {'x'  }
{'111110010'} {'1010'} {'1110'} {'0001'} {'010010'} {'100101'} {'0100110'} {'0100111'}

Columns 25 through 27

{'y'  } {'z'  } {' ' }
{'111111'} {'1111101'} {'001'}

```

Fig 1: Huffman Dictionary Output.

Huffman Encoding Η συνάρτηση `huffmanEnc` λαμβάνει ως είσοδο το αρχείο που θέλουμε να κωδικοποιηθεί και το dictionary που δημιουργήθηκε από την συνάρτηση `huffmanDict`. Όσο το αρχείο εισόδου δεν είναι κενό, συγκρίνει έναν προς έναν τους χαρακτήρες με την αντίστοιχη κωδικοποίησή τους και δημιουργεί ένα διάνυσμα εξόδου με την ακολουθία από bit που το αναπαριστούν. Τα αρχικά ψηφία φαίνονται παρακάτω και μπορούν να επαληθευτούν από το dictionary.

```

Command Window

Columns 1 through 8

{'a'  } {'b'  } {'c'  } {'d'  } {'e'  } {'f'  } {'g'  } {'h'  }
{'0110'} {'101111'} {'10001'} {'10110'} {'110'} {'100100'} {'101110'} {'10011'}

Columns 9 through 16

{'i'  } {'j'  } {'k'  } {'l'  } {'m'  } {'n'  } {'o'  } {'p'  }
{'0101'} {'111110011'} {'11111000'} {'01000'} {'100000'} {'0111'} {'00000'} {'11110'}

Columns 17 through 24

{'q'  } {'r'  } {'s'  } {'t'  } {'u'  } {'v'  } {'w'  } {'x'  }
{'111110010'} {'1010'} {'1110'} {'0001'} {'010010'} {'100101'} {'0100110'} {'0100111'}

Columns 25 through 27

{'y'  } {'z'  } {' ' }
{'111111'} {'1111101'} {'001'}

0100110100110101010000110001000110011110001100000110000110011110100000110000101011000111100010000100100001100010000

```

Fig 2: Huffman Encoding Output.

Huffman Decoding Η συνάρτηση `huffmanDec` λαμβάνει ως είσοδο το κωδικοποιημένο διάνυσμα όπως επίσης και το dictionary που έχει δημιουργηθεί. Διαβάζοντας έναν έναν τα bit εισόδου, δημιουργεί ένα προσωρινό λεξιλόγιο με σκοπό να ταυτοποιήσει την ακολουθία από bit που αντιστοιχεί στο κάθε γράμμα. Όταν το εντοπίσει, το γράμμα εισέρχεται στο vector εξόδου. Παρακάτω φαίνονται τα αποτελέσματα όλων των συναρτήσεων:

```
Command Window

Columns 1 through 8

{'a' } {'b' } {'c' } {'d' } {'e' } {'f' } {'g' } {'h' }
{'0110' } {'101111' } {'10001' } {'10110' } {'110' } {'100100' } {'101110' } {'10011' }

Columns 9 through 16

{'i' } {'j' } {'k' } {'l' } {'m' } {'n' } {'o' } {'p' }
{'0101' } {'111110011' } {'11111000' } {'01000' } {'10000' } {'0111' } {'0000' } {'11110' }

Columns 17 through 24

{'q' } {'r' } {'s' } {'t' } {'u' } {'v' } {'w' } {'x' }
{'111110010' } {'1010' } {'1110' } {'0001' } {'010010' } {'100101' } {'0100110' } {'0100111' }

Columns 25 through 27

{'y' } {'z' } {' ' }
{'111111' } {'1111101' } {'001' }

010011010011010101000110001100111100011000001100111101000001100001010110001111000100001001000011000100000
while the mathematics of convex optimization has been studied for about a century several related recent developmen
fx >>
```

Εικ 3: Huffman Decoding Output.

1.2 Αποδοτικότητα κώδικα

Για να υπολογίσουμε την αποδοτικότητα του κώδικα, πρέπει πρώτα να υπολογιστούν η εντροπία του κώδικα όπως επίσης και το μέσο μήκος κώδικα. Ο τύπος της εντροπίας είναι:

$$\sum i P_x(i) * \log(P_x(i)) \quad (1)$$

και ο τύπος του μέσου μήκους κώδικα είναι:

$$\sum i P_x(i) * Length(i) \quad (2)$$

Υπολογίζοντας αυτά μπορώ να βρώ την αποδοτικότητα του κώδικα αφού αποτελεί απλώς μια διαίρεση μεταξύ εντροπίας και μήκους. Τα αποτελέσματα φαίνονται παρακάτω:

```

01001101001101010001000100011000110001100011000110001
while the mathematics of convex optimization has been s

entropy =

    4.1347

avgLenCode =

    4.1630

efficiency =

    0.9932

fx >>
<

```

Εικ 4: Huffman Efficiency

Όπως φαίνεται η αποδοτικότητα του κώδικα είναι στο 99% το οποίο είναι και ένα αποτέλεσμα που περιμέναμε αφού οι πιθανότητες που χρησιμοποιώ προέρχονται από το κείμενο που έχει κωδικοποιηθεί

1.3 Κωδικοποίηση με πιθανότητες συμβόλων αγγλικής γλώσσας

Χρησιμοποιώντας το αρχείο frequencies.txt για τις πιθανότητες των συμβόλων λαμβάνω το εξής αποτέλεσμα:

```

entropy =

    4.1679

avgLenCode =

    4.1875

efficiency =

    0.9953

fx >>
<

```

Εικ 5: Huffman Efficiency

Παρατηρώ ότι το μέσο μήκος κώδικα είναι λίγο μεγαλύτερο, το οποίο οφείλεται στο γεγονός ότι οι δοσμένες πιθανότητες είναι γενικευμένες για την αγγλική γλώσσα και δεν είναι προσαρμοσμένες πάνω στο δοθέν κείμενο.

1.4 Δεύτερη τάξη επέκταση πηγής A

Αρχικά δημιουργώ την δεύτερη τάξη επέκταση πηγής A, η οποία είναι όλοι οι συνδυασμοί γραμμάτων μεταξύ τους και υπολογίζω τις πιθανότητες κάθε συνόλου 2 χαρακτήρων πολλαπλασιάζοντας τις πιθανότητες του καθενός. Στο τέλος καταλήγω με 729 συνδυασμούς γραμμάτων (δηλαδή 26^2). Η τελική κωδικοποίηση φαίνεται παρακάτω μαζί με τα τελευταία ζεύγη του λεξιλογίου:

```

65
Command Window

{'j '      } {'k '      } {'l '      } {'m '      } {'n '      } {'o '      }
{'1011011001100'} {'00110100100'} {'1110110'} {'00110000'} {'0010101'} {'101011'}

Columns 718 through 723

{'p '      } {'q '      } {'r '      } {'s '      } {'t '      } {'u '      }
{'01110110'} {'111100111000'} {'0101100'} {'0110111'} {'111000'} {'000000010'}

Columns 724 through 729

{'v '      } {'w '      } {'x '      } {'y '      } {'z '      } {' '      }
{'010011111'} {'111100001'} {'0100000110'} {'101110011'} {'1011010111'} {'11000'}

fx 01111110001000100110101010010111001010110010101111011100101110101110001100101100000101101110010001110001.
<

```

Εικ6: Huffman Second Order

Παρατηρώ ότι παρόλο που το μέσο μήκος κώδικα έχει διπλασιαστεί, το οποίο είναι και ένα αποτέλεσμα που περιμέναμε λόγω της αύξησης των χαρακτήρων από 27 σε 729, η απόδοση της κωδικοποίησης είναι μεγαλύτερη και η συμπίεση του κειμένου είναι μεγαλύτερη. Επίσης η εντροπία μια διακριτής πηγής με την αντίστοιχη n τάξης επέκτασής της ακολουθεί τον τύπο:

$$H(\Phi n) = nH(\Phi) \quad (3)$$

Το οποίο επαληθεύεται με τα δεδομένα μας, αφού η εντροπία της δεύτερης τάξης επέκταση της πηγής A είναι διπλάσια.

1.5 Κωδικοποίηση εικόνας και χρήση δυαδικού συμμετρικού καναλιού

Αρχικά φορτώνω σε ένα struct το αρχείο cameraman.mat και υπολογίζω τις πιθανότητες των τιμών 0-255 που αποτελούν την κλίμακα του γκρι. Έπειτα δημιουργείται το dictionary για την εικόνα και κωδικοποιείται η πηγή. Για να βρούμε την

πιθανότητα p κάποιου bit να έχει μετατραπεί από 0 σε 1 ή από 1 σε 0 αρκεί να βρούμε την απόσταση hamming των δύο διανυσμάτων. Έπειτα, γνωρίζοντας την πιθανότητα μπορούμε να υπολογίσουμε την δυαδική εντροπία και τέλος η χωρητικότητα του καναλιού είναι η

$$C = 1 - H(p) \quad (4)$$

Τα αποτελέσματά μου φαίνονται παρακάτω:

```

95 % find hamming distance of 2 strings
96 p = pdist2(encImage, noisyImg, 'hamming')
97 %calculate binary entropy
98 H = -p*log2(p) - (1-p)*log2(1-p)
99 %Capacity of channel
100 C = 1 - H
101

```

Command Window

```

p =
    0.1799

H =
    0.6798

C =
    0.3202

```

fx >> |

<

Εικ 7: Channel Capacity

2 Ερώτημα 2 - Κωδικοποίηση PCM

Η κωδικοποίηση PCM χρησιμοποιείται για την κωδικοποίηση αναλογικών σημάτων σε ψηφιακά. Σκοπός αυτής της άσκησης είναι η δημιουργία ενός μη ομοιόμορφου βαθμωτού κβαντιστή που θα υλοποιηθεί χρησιμοποιώντας τον αλγόριθμο Lloyd-Max.

2.1 Ερώτηση 1 - Κωδικοποίηση πηγής A

Η πηγή A είναι μια πηγή που ακολουθεί την κανονική κατανομή για $M = 10000$ χρησιμοποιώντας την συνάρτηση:

$$t = \text{randn}(M, 1) \quad (5)$$

Παρακάτω φαίνονται οι έξοδοι για $N = 2, 3$ και 4 bits αντίστοιχα. Τα διανύσματα παραμόρφωσης είναι ενδεικτικά και δε φαίνονται ολόκληρα στις εικόνες.

```

1
2
3
2
2
4

centers =

    -0.4038    -0.1307     0.1078     0.3921

D =

Columns 1 through 12

    1.0000    0.0976    0.0861    0.0796    0.0760    0.0740    0.0731    0.0726    0.0724    0.0722    0.0722    0.0721

Columns 13 through 24

    0.0721    0.0721    0.0721    0.0721    0.0721    0.0721    0.0721    0.0721    0.0721    0.0721    0.0721    0.0721

Column 25

    0.0721

```

Elx 8: Source A with 2 bit zones

```

Command Window

6
8
7
1

centers =

    -0.5845    -0.3570    -0.1962    -0.0596     0.0744     0.2106     0.3687     0.5939

D =

Columns 1 through 12

    1.0000    0.0577    0.0550    0.0530    0.0512    0.0498    0.0485    0.0473    0.0462    0.0453    0.0445    0.0438

Columns 13 through 24

    0.0434    0.0429    0.0425    0.0422    0.0419    0.0416    0.0414    0.0411    0.0410    0.0408    0.0407    0.0406

Columns 25 through 36

    0.0406    0.0405    0.0405    0.0404    0.0404    0.0404    0.0404    0.0403    0.0403    0.0403    0.0403    0.0403

Columns 37 through 48

    0.0403    0.0403    0.0403    0.0403    0.0403    0.0403    0.0402    0.0402    0.0402    0.0402    0.0402    0.0402

```

Elx 9: Source A with 3 bit zones

```

Command Window

10
8
14
5
14
4

centers =

Columns 1 through 12

    -0.7367    -0.5789    -0.4534    -0.3560    -0.2775    -0.2044    -0.1355    -0.0702    -0.0066     0.0583     0.1256     0.1973

Columns 13 through 16

    0.2748     0.3640     0.4879     0.6812

D =

Columns 1 through 12

    1.0000    0.0308    0.0302    0.0297    0.0292    0.0288    0.0283    0.0278    0.0273    0.0268    0.0263    0.0259

Columns 13 through 24

    0.0255    0.0251    0.0248    0.0246    0.0244    0.0242    0.0240    0.0238    0.0236    0.0234    0.0233    0.0232

```

Elx 10: Source A with 4 bit zones

Υπολογίζοντας το SQNR για τον βαθμωτό και τον διανυσματικό κβαντιστή λαμβάνουμε τα εξής αποτελέσματα:

```
Command Window
Number of iterations: 38
SQNR of 2-bit Lloyd-Max quantization is 14.014242 dBs
MSE of 2-bit Lloyd-Max quantization is 0.607114
Number of iterations: 56
SQNR of 3-bit Lloyd-Max quantization is 26.405056 dBs
MSE of 3-bit Lloyd-Max quantization is 0.569401
Number of iterations: 89
SQNR of 4-bit Lloyd-Max quantization is 47.524231 dBs
MSE of 4-bit Lloyd-Max quantization is 0.558847
SQNR of 2-bit Kmeans quantization is 5.577255 dBs
MSE of 2-bit kmeans quantization is 0.359780
SQNR of 3-bit Kmeans quantization is 19.095048 dBs
MSE of 3-bit kmeans quantization is 0.190310
SQNR of 4-bit Kmeans quantization is 39.415664 dBs
MSE of 4-bit kmeans quantization is 0.119186
fx >>
```

Εικ 11: SQNR Source A

Όπως βλέπουμε το SQNR αυξάνεται όσο αυξάνονται τα επίπεδα κβάντισης του κάθε αλγορίθμου. Επίσης βλέποντας το MSE ανάμεσα στο αρχικό και κβαντισμένο διάνυσμα βλέπουμε ότι ο θόρυβος που δημιουργείται λόγω της κβάντισης μειώνεται με όσο περισσότερα bit χρησιμοποιούμε για τα επίπεδα κβάντισης.

2.2 Ερώτηση 2 - Κωδικοποίηση πηγής B

Χρησιμοποιώντας την πηγή B, το διάγραμμα που λαμβάνουμε σχεδιάζοντας το SQNR σε σχέση με τον αριθμό των επαναλήψεων είναι το εξής:

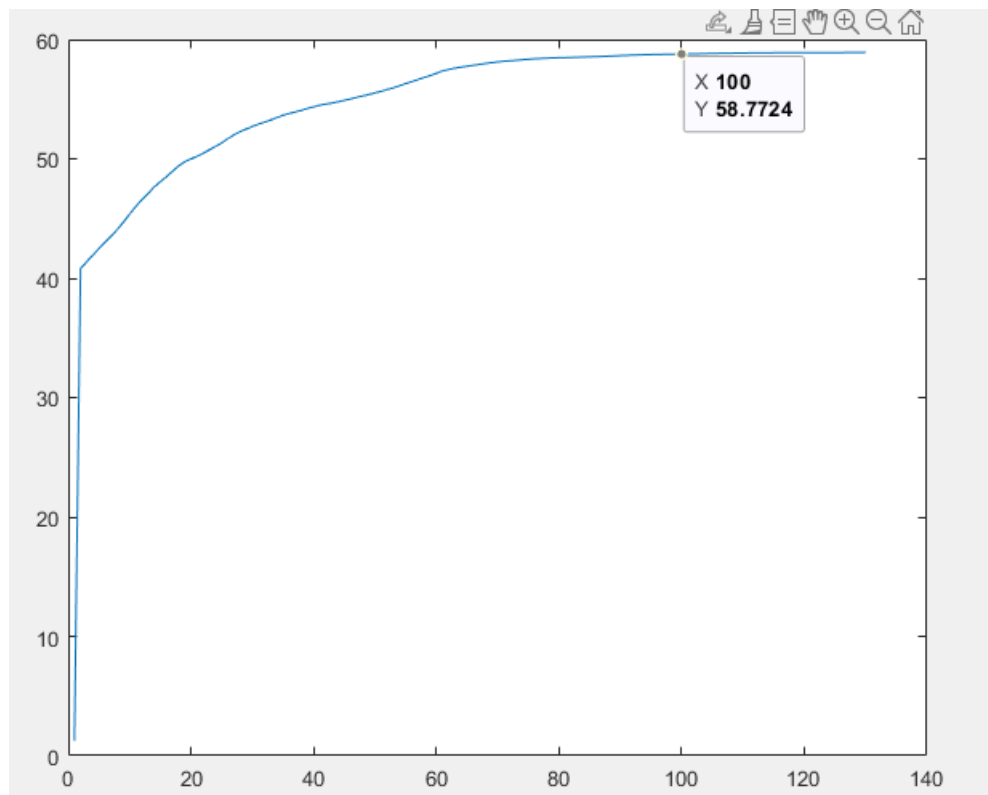


Fig 12: SQNR Source B Diagram

Επίσης μετρώντας το MSE των δύο αλγορίθμων βλέπουμε ότι το λάθος που παράγεται από τον διανυσματικό κβαντιστή είναι αρκετά μικρότερο από τον βαθμωτό.

```
Command Window
Number of iterations: 32
MSE of 2-bit Lloyd-Max quantization is 0.811632
Number of iterations: 52
MSE of 3-bit Lloyd-Max quantization is 0.767464
Number of iterations: 103
MSE of 4-bit Lloyd-Max quantization is 0.754680
MSE of 2-bit kmeans quantization is 0.459484
MSE of 3-bit kmeans quantization is 0.243855
MSE of 4-bit kmeans quantization is 0.152656
fx >>
```

Ex 13: MSE of the 2 quantizers